

九州大学応用力学研究所 正員 中村泰治
 九州大学 工学部 学生員 中島正道
 九州大学応用力学研究所 渡辺公彦

1. はじめに

偏平なH型およびT型断面柱の低風速励振を研究する過程¹⁾、これら断面柱のストローハル数が、断面弦長を代表長にとるとき、断面比によらずほぼ一定となることを見出したので、その結果と低風速励振との関連について述べる。

2. 風洞と模型

模型はH型およびT型の2次元断面柱である、弦長 $d = 18\text{ cm}$ ($d = 36\text{ cm}$ および 60 cm の場合も若干含む) を一定とし、桁高 h が種々かえられた。 $d/h = 1.0 \sim 9$ 。その長さは 65 cm であり、両端に端板 ($54\text{ cm} \times 72\text{ cm}$) が取付けられた。床面および桁の肉厚は 5 mm 。風洞測定部寸法は高さ \times 幅 $= 3\text{ m} \times 0.7\text{ m}$ 。模型は風洞測定部中央で水平に固定された。工型熱線プローブを模型後方の適当な位置にあり、その信号をスペクトル解析してカルマン渦の放出振動数を求める。 $V = 5 \sim 11\text{ m/s}$ 。

3. 実験結果

H型断面柱の、弦長 d を代表長としたストローハル数 $S_t(d)$ ($= f_{sh}/V$) を図1に示す。断面比 d/h を増すとき、ストローハル数は2つ異なる分枝をもつ。こゝでは第2の分枝に注目する。その存在範囲は広く $d/h = 2.0 \sim 8.0$ における $d/h = 2.0 \sim 3.5$ の範囲では、第1と第2の分枝が共存する。また、この範囲では、座標変動スペクトルの山がいくつもあるが、第1の分枝と一緒にあわせると定かでない。このような2以上の異なる振動数をもつ波形は、とくに後縁近傍に集中してみられる。第2の分枝にモードとも特徴的なことは、ストローハル数の代表的長さとして弦長 d をとるとき、 $S_t(d)$ がほぼ一定値 0.6 を示すことである。こゝを図2に示す。カルマン渦の発生が桁高 h よりおしゃれ長 d に依存することは大変興味深く、同様なことがT型断面柱にもみられる(図3、図4)。この特性は偏平な断面柱に共通するものと考えられる。

4. 低風速励振との関係

白石・松本²⁾によれば、曲げ低風速励振の共振開始風速は、 $\bar{V}_{cr} = V_{cr}/fd = 1.67$ および $1/2\bar{V}_{cr}$ で与えられる。また、限界風速 \bar{V}_{cr} は、物体運動により生じた前縁剥離渦が丁度後縁に達する風速とも差しらしくなる。図2によると、こゝ限界風速 \bar{V}_{cr} はカルマン渦との共振風速 $1/S_t(d)$ に一致する。また、前報¹⁾の実験結果もこゝを支持している。一方、スプリット板を挿入すると、前縁剥離から剪断層がスプリット板に再付着し、も早カルマン渦の形成はない。それにモードからす限界風速 \bar{V}_{cr} より低風速励振は発生する。換言すれば、低風速励振は、一見、カルマン渦と無関係に発生する。しかし、左方 または 前縫風速 $1/S_t(d)$ より遅くなる。この一見矛盾する関係が明るかにされなければならない。

5. Edge Toneとの関係

問題は、“偏平な断面柱において、カルマン渦の放出が桁高によらず、おしゃれ、弦長によって定まるのは何故か?”というところに帰着する。こゝ問題の鍵として、edge tone との関係を挙げる。单一の剪断層の発振は、それ自身のみでは伸び難い難題³⁾が、下流に到る edge があわせその影響を受けて容易に発現する³⁾。左とえば、図5に示すように、cavity の上流端で剥離した剪断層は下流端による影響によって発振する。こゝと左、cavity の肉厚 d を用いて作られたストローハル数 $S_t(d)$ が多くの場合一定となる。もし、周波数適当な cavity の音響振動と鳴き声があれば、発振はさらに強められる。こゝが edge tone と一致するものである。

さて、我々の問題に立ち戻り、H型断面柱は上下2つのcavityよりなるもつとみるに過ぎない。このとき、上下の剝離層が下流の桁によって、それが、独立に発振する可能性がある。一方、2列の層が干涉の結果発生するものがカルマン渦である。これらを合せると、H型断面柱の場合、カルマン渦・発生が單一の剪断層の発現と同期して不思議である。ニウミ、弦長 d を代表長とするストローハル数が一定値を示すことを有する。事実、Rockwell³⁾によれば、edge toneの発生条件は、入射剪断層の波長 λ を $d = n\lambda, n=1, 2, \dots$ とする。本研究で観測されたカルマン渦は $n=1$ に相当し、また、(往風速励振発振の条件もエドワードと一致する。

T型断面柱もH型断面柱と同様である、後端部が上下2つの剪断層の発振と主な擾乱源となり得るものと考えられる。また、矩形断面柱も例外ではなく、本研究で述べたとく同様に成立する。矩形断面柱における $d/h = 3.0$ 付近のストローハル数 $St(h)$ のジマニア⁴⁾は、過去における剪断層、定常的再付着と差しあげて左側、それはedge toneの発生を意味し、定常的再付着ではない。このことは、 $d/h = 3.0$ が間欠的再付着開始とされる閾値⁴⁾と符合する。

以上の考察より分るように、往風速励振の概念的定義をすれば、通常のカルマン渦と同じく、それは流体-構造連成系に生じる連成フリクションである。したがい、扁平な断面柱の場合、 d/h の大小で断面柱比較して、カルマン渦による励振力は非常に小さい。そのため、これを無視して、文献(2)を参考して図3のように1自由度ラバタヒテ取扱うことが許される(図3)。

- 1) 中村、中島: 土木学会論文報告集, 1983.
- 2) 白石・松本: 土木学会論文報告集, 322号, 1982.
- 3) S. Zaki & D. Rockwell: J. Fluid Mech., 124, 1982.
- 4) 関島・杉谷: 流水の可視化, 2, 1982.

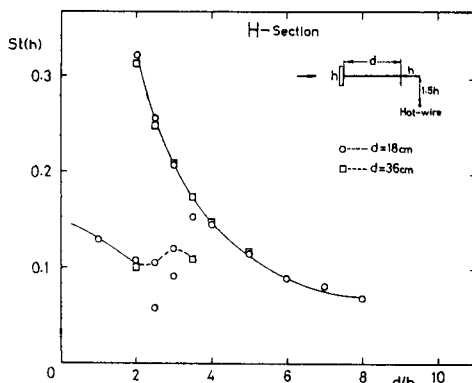


図 1

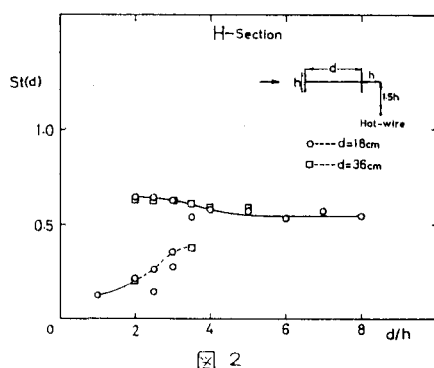


図 2

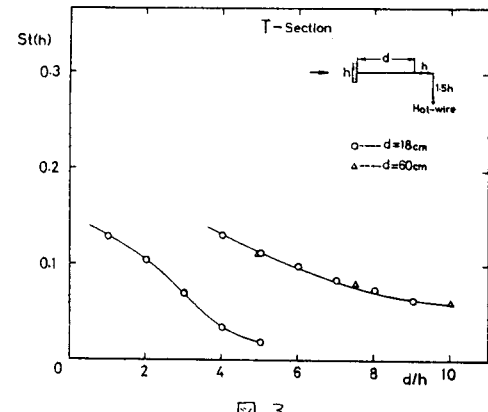


図 3

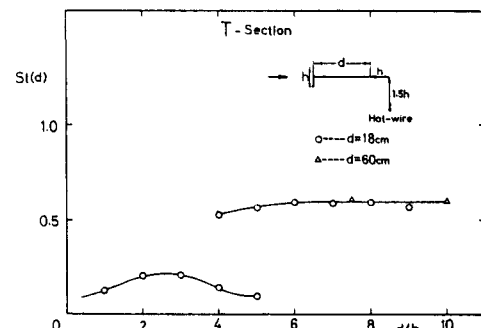
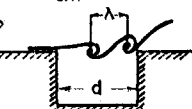


図 4

図 5



$$d = n\lambda$$

$$St(d) = \frac{f_v d}{V} = \text{const.}$$